

Rapport

Projet de calcul scientifique

réalisé par

Samy Afker & Maxime Moshfeghi



Table des matières

Introduction	2
I Séance 1	4
1 Limites de la puissance itérée	5
1 Temps d'exécution	5
2 Optimisation de l'algorithme	5
2 Amélioration de la méthode de la puissance itérée pour obtenir les sous- espaces propres dominants	7
3 subspace_iter_v2 et subspace_iter_v3	8
4 Expériences numériques	10
II Séance 2	11
1 Compression d'image	12
III Conclusion	14
1 Bilan	15
2 Remerciements	15
Annexe	17
A Programmes Matlab	17
B Reconstitution d'image	24
Bibliographie	25

Introduction

Dans ce projet, le but sera d'implanter différents algorithmes de décomposition spectrale d'une matrice. Nous allons implanter deux versions de la méthode de la puissance itérée ainsi que 4 versions de la méthode "subspace iteration". Ensuite, nous allons comparer les performances des différents algorithmes pour différents paramètres. Enfin, nous allons les appliquer pour compresser un image.

Première partie

Séance 1

Chapitre 1

Limites de la puissance itérée

1 Temps d'exécution

Question 1 : En terme de temps d'exécution, la méthode de la puissance itérée implantée en suivant l'algorithme 1 donnée dans le sujet est moins efficace que la méthode `eig` existant initialement dans **Matlab**. Elle est en effet 10 à 100 fois moins efficace, selon les types des matrices et leurs tailles.

Voir le [tableau comparatif des temps d'exécution](#)

2 Optimisation de l'algorithme

Question 2 : En inspectant l'implantation de l'algorithme, on observe que celui-ci peut-être allégé d'une multiplication matrice×vecteur. Voici comment :

Listing 1.1 – Boucle Répéter de l'algorithme 1 optimisé

```
55 while(norme > eps && nb_it < maxit)
56     % y = z;
57     % v = y / norm(y,2);
58     v = z / norm(z,2);
59     z = A*v;
60     beta = v'*z;
61     norme = norm(beta*v - z, 2)/norm(beta,2);
62     nb_it = nb_it + 1;
63 end
```

Cette nouvelle implémentation nécessite bien sûr une initialisation de `z` avant la boucle.

On peut désormais comparer les vitesses d'exécution des trois programmes :

TABLE 1.1 – Temps d'exécution pour chacun des algorithmes

Propriétés de la matrice	Type	1		2		3		4	
	Taille	200	400	200	400	200	400	200	400
Algorithme	<code>eig</code>	8,00E-02	3,00E-02	1,00E-02	2,00E-02	2,00E-02	5,00E-02	2,00E-02	3,00E-02
	<code>powerv11</code>	5,75E+00	4,19E+01	9,00E-02	1,20E+00	2,00E-01	1,11E+00	4,97E+00	4,29E+01
	<code>powerv12</code>	3,16E+00	2,24E+01	7,00E-02	8,30E-01	1,50E-01	7,20E-01	3,22E+00	2,30E+01

On remarque que la fonction `eig.m` est la meilleure en terme de temps d'exécution. En ce qui concerne les méthodes de la puissance itérée, on observe que la fonction `powerv12.m` est en effet 2 fois plus rapide que `powerv11.m`.

Question 3 :

Cependant, cette méthode présente un principal défaut : l'algorithme effectue la décomposition spectrale complète de la matrice. Ce processus peut alors s'avérer très long (complexité en $\mathcal{O}(n^2)$).

Chapitre 2

Amélioration de la méthode de la puissance itérée pour obtenir les sous-espaces propres dominants

Question 4 :

La matrice V converge vers une matrice contenant les vecteurs propres de A exprimés dans une autre base. On obtient la matrice de passage X permettant de retrouver les vecteurs propres de A dans la base canonique en effectuant la décomposition spectrale de H (à l'aide de la fonction `eig.m`). Ainsi, on retrouve alors les vecteurs propres en calculant $V_{out} = V \cdot X$

Question 5 :

Il est raisonnable d'effectuer une décomposition spectrale complète de H car il s'agit d'une matrice beaucoup plus petite que A (on a $H \in \mathbb{R}^{m \times m}$).

Question 6 :

On implémente alors l'algorithme sur **Matlab** de la manière suivante :

Voir [subspace_iter_v0.m](#) en annexe

Question 7 :

L'ensemble des étapes de l'algorithme 4 sont identifiées via les commentaires du programme **Matlab** suivant :

Voir [subspace_iter_v1.m](#) en annexe

Chapitre 3

subspace_iter_v2 et subspace_iter_v3

Question 8 :

L'opération $A \times A$ a une complexité de $\mathcal{O}(n^3)$. On peut montrer par récurrence immédiate que la complexité du calcul de A^p est $\mathcal{O}((p-1)n^3)$. Ainsi, la complexité totale du calcul de $A^p \cdot V$ est de $\mathcal{O}((p-1)n^3 + mn^2)$

Question 9 :

La seule modification à apporter par rapport à `subspace_iter_v2.m` est la suivante :

Listing 3.1 – Amélioration de `subspace_iter_v1.m`

```
1  %% Y <- A^p*V
2  Y = Vr;
3  for k=1:p
4      Y = A*Y;
5  end
```

Question 10 :

Afin d'étudier le comportement de `subspace_iter_v2.m` en fonction de p , on lance le script `test_v0_v1_v2.m` pour des matrices de taille 400, de types différents et ceci pour différentes valeurs de p :

TABLE 3.1 – Temps d'exécution pour chacun des algorithmes

Propriétés de la matrice	Type	1			2			3			4		
	Taille	400											
	Puissance	5	20	50	5	10	15	5	15	30	5	20	50
Algorithme	subspace_iter_v0	9,23E+00			3,90E-01			1,19E+00			7,22E+00		
	subspace_iter_v1	7,40E-01			3,00E-02			6,00E-02			7,00E-01		
	subspace_iter_v2	2,00E-01	1,20E-01	1,00E-01	1,00E-02	3,00E-02	5,00E-02	2,00E-02	2,00E-02	6,00E-02	1,90E-01	1,40E-01	9,00E-02

On peut remarquer que la méthode `subspace_iteration_v2` est plus efficace que les méthodes `subspace_iteration_v0` et `subspace_iteration_v1` dans le cas de l'application aux matrices de type 1 et 4, et d'efficacité croissante avec p . Cela est dû au bon conditionnement de ces deux types de matrice.

En revanche, cette efficacité a la tendance inverse pour les matrices de types 2 et 3

qui sont les matrices avec le moins bon conditionnement. Dans ce cas, les opérations $matrice \times matrice$ sont les plus coûteuses en temps.

Question 11 :

En comparant les précisions des vecteurs propres estimés pour `subspace_iter_v1`, on remarque que la qualité des vecteurs propres pour `v1` est variable car les premiers vecteurs propres calculés sont affinés à chaque itération. Ainsi, la norme des résidus est croissante.

Question 12 :

Dans `subspace_iter_v3` on n'orthonormalise que la partie qui n'a pas convergé du vecteur `V`. Par conséquent, les résidus sont autour de la valeur de tolérance `eps`.

Question 13 :

Voir `subspace_iter_v3.m` en annexe

Chapitre 4

Expériences numériques

Question 14 :

Les matrices ont des conditionnements différents qui peuvent être classés dans cet ordre : $\kappa_2 > \kappa_3 > \kappa_4 > \kappa_1$; le type de matrice 1 est donc le mieux conditionné. Afin de visualiser la distribution des valeurs propres selon le type de matrice, on trace les figures ci-dessous :

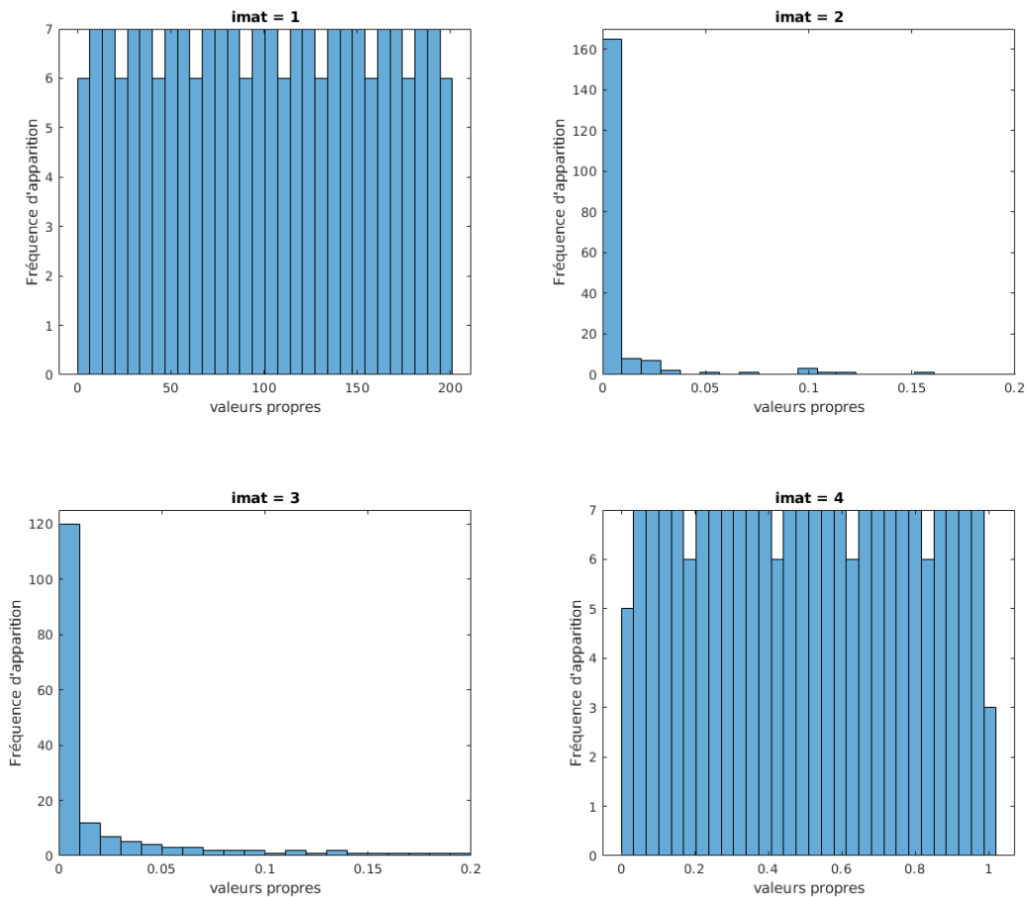


FIGURE 4.1 – Distribution des valeurs propres des matrices selon leur type

On remarque que les valeurs propres des matrices de type 2 et 3 sont rassemblées autour de 0, rendant difficile la détermination de leurs valeurs et vecteurs propres.

Deuxième partie

Séance 2

Chapitre 1

Compression d'image

Question 1 :

On a $U_k \in \mathbb{R}^{q \times k}$, $V_k \in \mathbb{R}^{k \times k}$ et $\Sigma_k \in \mathbb{R}^{p \times k}$

Question 2 :

La valeur de $\|I - I_k\|$ est très proche pour chacun des algorithmes :

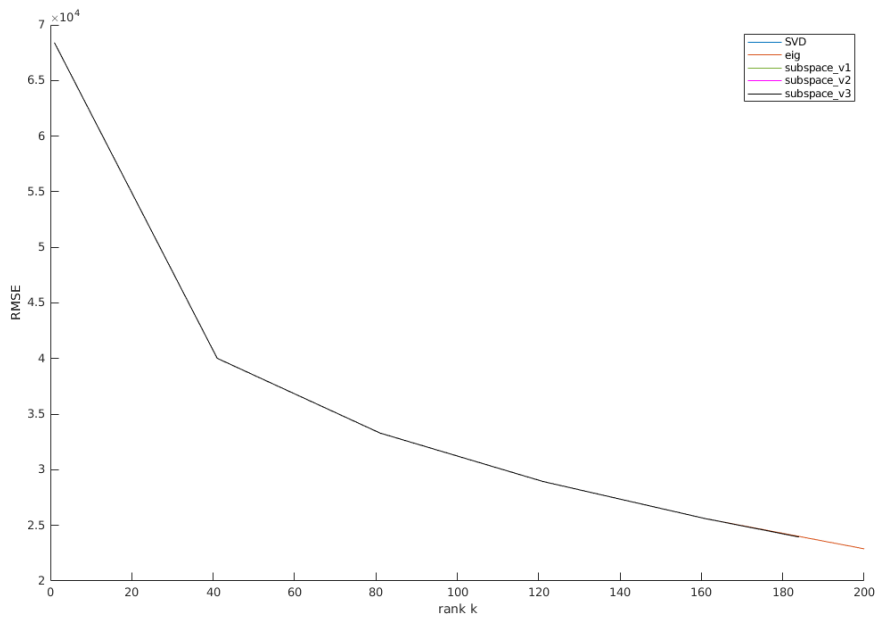


FIGURE 1.1 – $\|I - I_k\|$ en fonction de k

On peut maintenant comparer les temps d'exécution de reconstruction d'image pour chacun des algorithmes :

TABLE 1.1 – Temps d'exécution de chacun des algorithmes

Propriétés de la matrice	Valeur de k	121		
	Taille	1187 × 1920		
	Puissance	1	2	4
Algorithme	eig	1,338E-01		
	powerv11	Temps d'exécution trop long		
	powerv12	Temps d'exécution trop long		
	subspace_iter_v0	Temps d'exécution trop long		
	subspace_iter_v1	1,8695E+00		
	subspace_iter_v2	1,9499E+00	1,1344E+00	2,3639E+00
	subspace_iter_v3	1,9228E+00	1,2365E+00	2,8037E+00

Voir la [reconstitution de l'image en annexe](#)

On remarque que **eig.m** reste la méthode performante. Cependant, on réussit à créer des algorithmes seulement dix fois moins rapide que cette dernière.

Troisième partie

Conclusion

1 Bilan

Ce projet nous a permis dans un premier temps de découvrir les différentes implantations d'algorithmes de décomposition spectrale de matrice. On a alors pu comparer leurs temps d'exécution, et constater que certains programmes étaient davantage adaptés pour certains types de matrices. On a enfin appliqué l'ensemble de ces algorithmes pour la compression d'image, on a également comparé les précisions et les temps d'exécution de ces algorithmes.

2 Remerciements

Merci à l'ensemble des enseignants pour leurs aides précieuses apportées durant les séances de projet.

Annexe

Annexe A

Programmes Matlab

Listing A.1 – Programme d’obtention du sous-espace propre dominant (v0)

```
1 % version basique de la méthode de l'espace invariant (v0)
2
3 % Données
4 % A          : matrice dont on cherche des couples propres
5 % m          : nombre de couples propres que l'on veut calculer
6 % eps        : seuil pour déterminer si les vecteurs de l'espace invariant
7 %             ont convergé
8 % maxit      : nombre maximum d'itérations de la méthode
9
10 % Résultats
11 % V : matrice des vecteurs propres
12 % D : matrice diagonale contenant les valeurs propres (ordre décroissant)
13 % it : nombre d'itérations de la méthode
14 % flag : indicateur sur la terminaison de l'algorithme
15 % flag = 0 : on a convergé (on a calculé m valeurs propres)
16 % flag = -3 : on n'a pas convergé en maxit itérations
17
18 function [ V, D, it, flag ] = subspace_iter_v0( A, m, eps, maxit )
19
20     % calcul de la norme de A (pour le critère de convergence)
21     normA = norm(A, 'fro');
22
23     n = size(A,1);
24
25     % indicateur de la convergence
26     conv = 0;
27     % numéro de l'itération courante
28     k = 0;
29
30     % on génère un ensemble initial de m vecteurs orthogonaux
31     Q = rand(n , m);
32     V = mgs(Q);
33
34     % rappel : conv = invariance du sous-espace V : ||AV - VH||/||A|| <= eps
35     while (~conv && k < maxit)
36
37         k = k + 1;
38
39         % calcul de Y = A.V
40         Y = A*V;
41
42         % calcul de H, le quotient de Rayleigh H = V^T.A.V
43         H = V'*Y;
44
45         % vérification de la convergence
46         compute_acc = norm(Y - V*H, 'fro')/normA;
47         conv = compute_acc < eps;
```

```

48
49     % orthonormalisation
50     V = mgs(Y);
51
52 end
53
54 % décomposition spectrale de H, le quotient de Rayleigh
55 [X, W] = eig(H);
56
57 % on range les valeurs propres dans l'ordre décroissant
58 [W, I] = sort(W, 'descend', 'ComparisonMethod','abs');
59
60 % on permute les vecteurs propres en conséquence
61 X = I*X;
62
63 % les m vecteurs propres dominants de A sont calculés à partir de ceux de H
64 V = V*X;
65
66 D = diag(W);
67
68 it = k;
69
70 if (conv)
71     flag = 0;
72 else
73     flag = -3;
74 end
75
76 end

```

Listing A.2 – Programme d'obtention du sous-espace propre dominant (v1)

```

1 % version améliorée de la méthode de l'espace invariant (v1)
2 % avec utilisation de la projection de Raleigh-Ritz
3
4 % Données
5 % A      : matrice dont on cherche des couples propres
6 % m      : taille maximale de l'espace invariant que l'on va utiliser
7 % percentage : pourcentage recherché de la trace
8 % eps    : seuil pour déterminer si un vecteur de l'espace invariant a convergé
9 % maxit   : nombre maximum d'itérations de la méthode
10
11 % Résultats
12 % V : matrice des vecteurs propres
13 % D : matrice diagonale contenant les valeurs propres (ordre décroissant)
14 % n_ev : nombre de couples propres calculées
15 % it : nombre d'itérations de la méthode
16 % itv : nombre d'itérations pour chaque couple propre
17 % flag : indicateur sur la terminaison de l'algorithme
18 %     flag = 0 : on converge en ayant atteint le pourcentage de la trace recherché
19 %     flag = 1 : on converge en ayant atteint la taille maximale de l'espace
20 %     flag = -3 : on n'a pas convergé en maxit itérations
21
22 function [ V, D, n_ev, it, itv, flag ] = subspace_iter_v1( A, m, percentage, eps,
23     maxit )
24
25 % calcul de la norme de A (pour le critère de convergence d'un vecteur (gamma))
26 normA = norm(A, 'fro');
27
28 % trace de A
29 traceA = trace(A);
30
31 % valeur correspondnat au pourcentage de la trace à atteindre
32 vtrace = percentage*traceA;
33
34 n = size(A,1);

```

```

34 W = zeros(m,1);
35 itv = zeros(m,1);
36
37 % numéro de l'itération courante
38 k = 0;
39 % somme courante des valeurs propres
40 eigsum = 0.0;
41 % nombre de vecteurs ayant convergés
42 nb_c = 0;
43
44 % indicateur de la convergence
45 conv = 0;
46
47 % on génère un ensemble initial de m vecteurs orthogonaux
48 Vr = randn(n, m);
49 Vr = mgs(Vr);
50
51 % rappel : conv = (eigsum >= trace) | (nb_c == m)
52 while (~conv && k < maxit)
53
54     k = k+1;
55     %% Y <- A*V
56     Y = A*Vr;
57     %% orthonormalisation
58     Vr = mgs(Y);
59
60     %% Projection de Rayleigh-Ritz
61     [Wr, Vr] = rayleigh_ritz_projection(A, Vr);
62
63     %% Quels vecteurs ont convergé à cette itération
64     analyse_cvg_finie = 0;
65     % nombre de vecteurs ayant convergé à cette itération
66     nbc_k = 0;
67     % nb_c est le dernier vecteur à avoir convergé à l'itération précédente
68     i = nb_c + 1;
69
70     while(~analyse_cvg_finie)
71         % tous les vecteurs de notre sous-espace ont convergé
72         % on a fini (sans avoir obtenu le pourcentage)
73         if(i > m)
74             analyse_cvg_finie = 1;
75         else
76             % est-ce que le vecteur i a convergé
77
78             % calcul de la norme du résidu
79             aux = A*Vr(:,i) - Wr(i)*Vr(:,i);
80             res = sqrt(aux'*aux);
81
82             if(res >= eps*normA)
83                 % le vecteur i n'a pas convergé,
84                 % on sait que les vecteurs suivants n'auront pas convergé non
85                 % plus
86                 % => itération finie
87                 analyse_cvg_finie = 1;
88             else
89                 % le vecteur i a convergé
90                 % un de plus
91                 nbc_k = nbc_k + 1;
92                 % on le stocke ainsi que sa valeur propre
93                 W(i) = Wr(i);
94
95                 itv(i) = k;
96
97                 % on met à jour la somme des valeurs propres
98                 eigsum = eigsum + W(i);
99
100                % si cette valeur propre permet d'atteindre le pourcentage

```

```

100         % on a fini
101         if(eigsum >= vtrace)
102             analyse_cvg_finie = 1;
103         else
104             % on passe au vecteur suivant
105             i = i + 1;
106         end
107     end
108 end
109 end
110
111 % on met à jour le nombre de vecteurs ayant convergés
112 nb_c = nb_c + nbc_k;
113
114 % on a convergé dans l'un de ces deux cas
115 conv = (nb_c == m) | (eigsum >= vtrace);
116
117 end
118
119 if(conv)
120     % mise à jour des résultats
121     n_ev = nb_c;
122     V = Vr(:, 1:n_ev);
123     W = W(1:n_ev);
124     D = diag(W);
125     it = k;
126 else
127     % on n'a pas convergé
128     D = zeros(1,1);
129     V = zeros(1,1);
130     n_ev = 0;
131     it = k;
132 end
133
134 % on indique comment on a fini
135 if(eigsum >= vtrace)
136     flag = 0;
137 else if (n_ev == m)
138     flag = 1;
139 else
140     flag = -3;
141 end
142 end
143 end

```

Listing A.3 – Programme d'obtention du sous-espace propre dominant (v3)

```

1  % version améliorée de la méthode de l'espace invariant (v3)
2  % avec utilisation de la projection de Raleigh-Ritz
3  % avec une accélération bloc
4  % avec utilisation de mgs_block
5
6  % Données
7  % A      : matrice dont on cherche des couples propres
8  % m      : taille maximale de l'espace invariant que l'on va utiliser
9  % percentage : pourcentage recherché de la trace
10 % p      : nombre de produits  $Y = A^p \cdot V$ 
11 % eps    : seuil pour déterminer si un vecteur de l'espace invariant a convergé
12 % maxit  : nombre maximum d'itérations de la méthode
13
14 % Résultats
15 % V : matrice des vecteurs propres
16 % D : matrice diagonale contenant les valeurs propres (ordre décroissant)
17 % n_ev : nombre de couples propres calculées
18 % it   : nombre d'itérations de la méthode
19 % itv  : nombre d'itérations pour chaque couple propre
20 % flag : indicateur sur la terminaison de l'algorithme

```

```

21 % flag = 0 : on converge en ayant atteint le pourcentage de la trace recherch
    é
22 % flag = 1 : on converge en ayant atteint la taille maximale de l'espace
23 % flag = -3 : on n'a pas convergé en maxit itérations
24
25 function [ V, D, n_ev, it, itv, flag ] = subspace_iter_v3( A, m, percentage, p, eps
    , maxit )
26
27 % calcul de la norme de A (pour le critère de convergence d'un vecteur (gamma))
28 normA = norm(A, 'fro');
29
30 % trace de A
31 traceA = trace(A);
32
33 % valeur correspondnat au pourcentage de la trace à atteindre
34 vtrace = percentage*traceA;
35
36 n = size(A,1);
37 W = zeros(m,1);
38 itv = zeros(m,1);
39 Wr = zeros(1,m);
40
41 % numéro de l'itération courante
42 k = 0;
43 % somme courante des valeurs propres
44 eigsum = 0.0;
45 % nombre de vecteurs ayant convergés
46 nb_c = 0;
47
48 % indicateur de la convergence
49 conv = 0;
50
51 % on génère un ensemble initial de m vecteurs orthogonaux
52 Vr = randn(n, m);
53 Vr = mgs(Vr);
54
55 % rappel : conv = (eigsum >= trace) | (nb_c == m)
56 while (~conv && k < maxit)
57
58     k = k+1;
59     %% Y <- A^p*V
60     Temp = Vr(:, nb_c + 1:end);
61     for k=1:p
62         Temp = A*Temp;
63     end
64
65     Y = [Vr(:,1:nb_c) Temp];
66     %% orthogonalisation
67     Vr = mgs_block(Y, nb_c);
68
69     %% Projection de Rayleigh-Ritz
70     [Wr(:, nb_c + 1:end), Vr(:, nb_c + 1:end)] = rayleigh_ritz_projection(A, Vr
        (:, nb_c + 1:end));
71
72     %% Quels vecteurs ont convergé à cette itération
73     analyse_cvg_finie = 0;
74     % nombre de vecteurs ayant convergé à cette itération
75     nbc_k = 0;
76     % nb_c est le dernier vecteur à avoir convergé à l'itération précédente
77     i = nb_c + 1;
78
79     while(~analyse_cvg_finie)
80         % tous les vecteurs de notre sous-espace ont convergé
81         % on a fini (sans avoir obtenu le pourcentage)
82         if(i > m)
83             analyse_cvg_finie = 1;
84         else

```

```

85         % est-ce que le vecteur i a convergé
86
87         % calcul de la norme du résidu
88         aux = A*Vr(:,i) - Wr(i)*Vr(:,i);
89         res = sqrt(aux'*aux);
90
91         if(res >= eps*normA)
92             % le vecteur i n'a pas convergé,
93             % on sait que les vecteurs suivants n'auront pas convergé non
94             % plus
95             % => itération finie
96             analyse_cvg_finie = 1;
97         else
98             % le vecteur i a convergé
99             % un de plus
100             nbc_k = nbc_k + 1;
101             % on le stocke ainsi que sa valeur propre
102             W(i) = Wr(i);
103
104             itv(i) = k;
105
106             % on met à jour la somme des valeurs propres
107             eigsum = eigsum + W(i);
108
109             % si cette valeur propre permet d'atteindre le pourcentage
110             % on a fini
111             if(eigsum >= vtrace)
112                 analyse_cvg_finie = 1;
113             else
114                 % on passe au vecteur suivant
115                 i = i + 1;
116             end
117         end
118     end
119
120     % on met à jour le nombre de vecteurs ayant convergés
121     nb_c = nb_c + nbc_k;
122
123     % on a convergé dans l'un de ces deux cas
124     conv = (nb_c == m) | (eigsum >= vtrace);
125
126 end
127
128 if(conv)
129     % mise à jour des résultats
130     n_ev = nb_c;
131     V = Vr(:, 1:n_ev);
132     W = W(1:n_ev);
133     D = diag(W);
134     it = k;
135 else
136     % on n'a pas convergé
137     D = zeros(1,1);
138     V = zeros(1,1);
139     n_ev = 0;
140     it = k;
141 end
142
143 % on indique comment on a fini
144 if(eigsum >= vtrace)
145     flag = 0;
146 else if (n_ev == m)
147     flag = 1;
148 else
149     flag = -3;
150 end

```

```
151     end
152 end
```


Annexe B

Reconstitution d'image

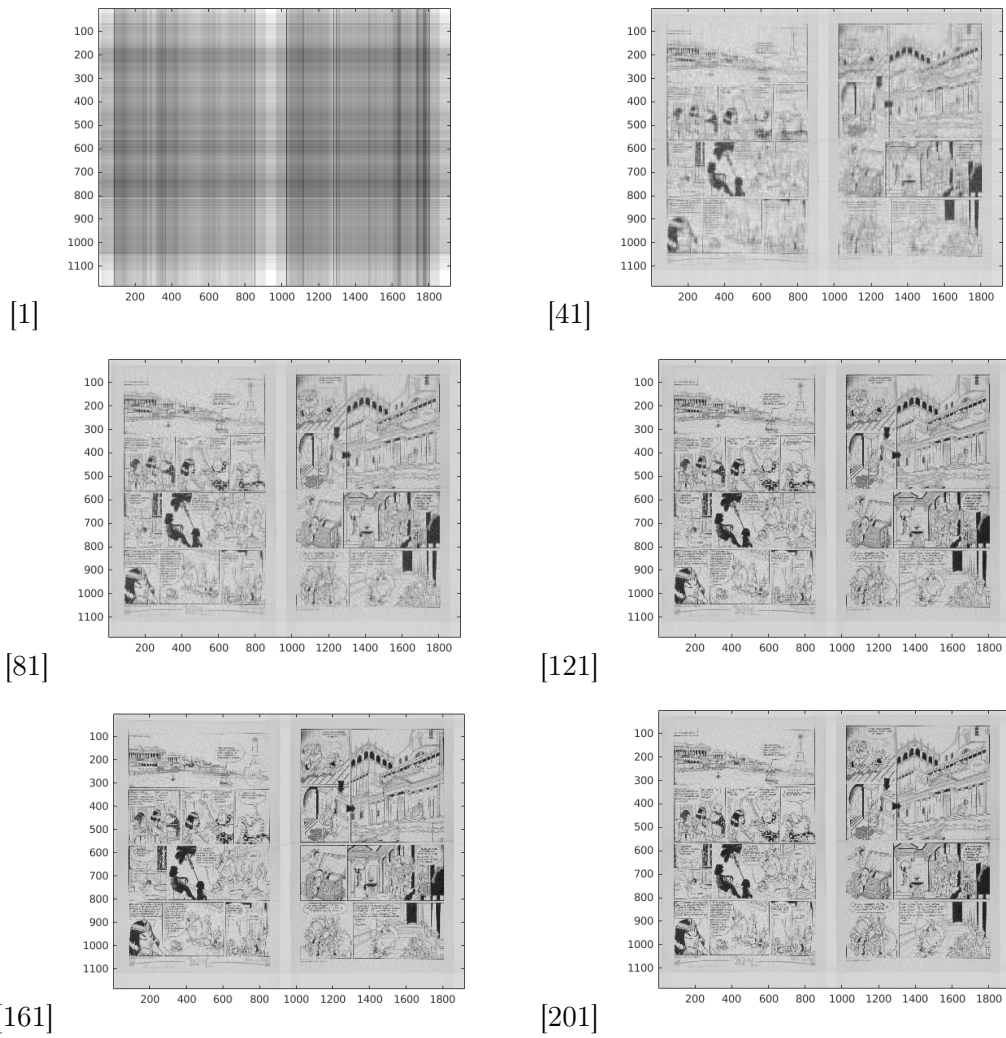


FIGURE B.1 – Image compressée pour différentes valeurs de k

Bibliographie

- [1] Equipe pédagogique - Calcul Scientifique (2022), *Subspace Iteration Methods*, EN-SEEIHT.